



## المقارنة بين تحويل الرفع والرفع التكيفي في تقدير دالة الانحدار الامعملي مع التطبيق

شرين علي حسين

قسم ضمان الجودة والاداء الجامعي ، رئاسة جامعة بغداد ، بغداد ، العراق.

Email: [shreen.a@uobaghda.edu.iq](mailto:shreen.a@uobaghda.edu.iq), ORCID: \

### معلومات البحث

#### تاريix البحث:

تاريخ تقديم البحث: 2024/2/27

تاريخ قبول البحث: 2024/4/29

عدد صفحات البحث 104 - 93

#### الكلمات المفتاحية:

التحويل الموجي المتقطع ، الانحدار الامعملي ، تحويل الرفع ، تحويل الرفع المكيف .

#### المراسلة:

اسم الباحث: شرين علي حسين

Email:

[shreen.a@uobaghda.edu.iq](mailto:shreen.a@uobaghda.edu.iq)

### المستخلص

يتم في هذا البحث دراسة تحويلات الرفع وبيان امكانية توظيف اكثراها كفاءة في معالجة وتحليل الاشارة وذلك بهدف تحسينها وازالت الضجيج منه ومن ثم تقدير دالة الانحدار الامعملي حيث سنطرح بعض طرائق التحويل والية تطبيقها من اجل التخلص من الضجيج في الاشارة اذ تم اخذ كلأ من طريقة تحويل الرفع (*Lifting Transformation*) وتحويل الرفع التكيفي (*Adaptive Lifting Transformation*) ، اذ تم المقارنة فيما بينها عن طريق *AMSE* وباختلاف دوال الاختبار واختيار الافضل وقد اتضح ان طريقة التحويل الرفع التكيفي (*Adaptive Lifting*) كانت الافضل تلتها بعد ذلك طريقة تحويل الرفع (*LIFTINGW*) باختلاف دوال الاختبار واحجام العينات اذ تم تطبيق الطرائق المذكورة على بيانات حقيقية تمثلت بكل من نسبة السيولة المالية كمتغير توضيحي نسب الفائدة على القروض قصيرة الاجل كمتغير معتمد للفترة من (2013-2022) اذ اثبتت الطرائق المذكورة كفاءتها في تفسير علاقة التأثير للمتغيرات المذكورة .

### 1. المقدمة

يتم استعمال تقليص المويجات على نطاق واسع لتقدير دوال الانحدار الامعملي من خلال تحويل البيانات المشاهدة على شكل مويجات من خلال استعمال التحويل الموجي المتقطع (*Discrete Wavelet Transformation*) وكذلك تحديد عتبة معاملات الموجة المناسبة ثم عكس التحويل للحصول على تقدير الدالة ، سيتم في هذا البحث توظيف طرائق تحويل جديدة لديها القدرة على التكيف مع انواع بيانات اكثرا عمومية كون التحويلات السابقة صارمة وهي ان البيانات تكون متباude بشكل منتظم وذات حجم عينة ثانئ اي ( $n^j$ ) لإجراء عملية تحويل كفؤة وتقدير الدالة بشكل دقيق. وتبرز هنا مشكلة ان في الجوانب التطبيقية تكون البيانات متباude بشكل غير تساوي او ان حجم العينة لا يكون ثانيا مما يتطلب ايجاد تحويلات ذات تكيف اكثرا مع هكذا مشكلة.

ان التحويلات الجديدة تكون ذات قدرة تكيف للعمل حتى مع اختراق تلك الشروط ومن هذه التحويلات هو تحويل الرفع (*Lifting Transformation*) وتحويل الرفع التكيفي (*Adaptive Lifting Transformation*) وهما تحويلان يشبهان التحويلات السابقة بالشكل العام الا ان لهما خصائص ضغط وتقليل للتشويش جيدة حتى مع البيانات المتباude بشكل غير منتظم وحجم عينة غير ثانئ ، اذ تعد ذات كفاءة اكثرا حتى من طرائق التحويل المقترحة من قبل الباحثان (*Kovac & Silverman*) عام 2000 للبيانات المتباude بشكل غير منتظم والذي يعد الانطلاقه الحقيقية لمعالجة القصور الموجود في التحويلات السابقة .

### 2. هدف البحث Research objective

تحديد افضل اسلوب تحويل رفع لتقدير دالة الانحدار الامعملي من خلال دراسة المحاكاة وثم تطبيقه على بيانات حقيقية تمثلت بتقدير دالة نسبة الفائدة .

### 3. الانحدار المويجي Wavelet Regression

تعد الشارة الاولى في توظيف التحويلات المويجية في الاحصاء من قبل الباحثان (Dohno & Jonston) عام (1994) وتم تطويرها فيما بعد من قبل العديد من الباحثين اذ اصبح الانحدار المويجي ذات اهمية متزايدة خلال العقد الماضي من خلال اقتراحات (Vidakovic) عام (1999) و (Abramovich) عام (2000) و اخرین عام (2000) وان انموذج الانحدار اللامعجمي يكون وفق الصيغة التالية:

$$Y_i = m(X_i) + \varepsilon_i \quad i=1, \dots, n \quad (1)$$

والهدف من اجراء الانحدار المويجي هو تدريب الدالة  $m$  من المشاهدات  $Y_i$  ، وبالرغم من كفاءة طائق التحويل المويجي في التقدير الا انها وكما ذكرنا تكون مقيدة بافتراءضات صارمة هي ان تكون المشاهدات  $(X_i)$  ذات مسافات متباينة بشكل منتظم وان يكون حجم العينة ثنائية الا ان هذه الافتراضات في الغالب لا يتم تتحققها في الواقع التطبيقي للبيانات الحقيقية على سبيل المثال البيانات المالية كالسيولة المصرفية والقروض وغيرها والتي قد تسجل ضمن فترات زمنية غير متساوية وبالتالي تكون متباينة بشكل غير منتظم اضف الى ذلك كونها ذات حجم غير ثئاني مما يؤدي الى نتائج غير كفؤة ومطللة للاستنتاجات وبالتالي فرات خاطئة لمعالجة المشكلة قيد الدراسة ، مما دفع الباحثين امام تساؤل مهم وهو هل يتم تجاهل طائق التحويل المويجي في التقدير مع هذا بيانات ام ايجاد طائق ذات قدرة وتكيف عالي حتى مع اختراق تلك الافتراضات وجاء الرد سريعاً بایجاد طائق تحويل جديدة ذات كفاءة عالية [2],[6].

### 4. تحويل الرفع (LT) Lifting Transformation

يعطي اسلوب الرفع في تحويل المويجات قدرأً كبيراً من المرونة . من حيث المبدأ يمكننا استخدام اي تنبؤ او تحديث خطى او غير خطى ويضمن بناء الرفع ان يكون التحويل فابلأ للعكس . اذ ظهرت هذه الطريقة من التحويل في الاونة الاخيرة ، اذ تم تطويرها بشكل يمكننا من خلاله تطبيق التحليل متعدد الميز على بيانات اكثر عمومية اي بالإمكان تطبيقه حتى مع البيانات المتباينة بشكل غير منتظم .

قدمت هذه التقنية بواسطة (Sweldens 1996) اذ يتلخص عملها في ثلاثة خطوات رئيسية هي الانقسام والتنبؤ (الرفع المزدوج) والتحديث (الاعداد الاولى) والتي سيتم توضيحها فيما يلي [10],[11]

- التقسيم : يتم فصل النقاط  $y_i$  الى فردية وزوجية بالتساوي وفق الاتي

$$Split(cj) = (cj^{k\tau}, cj^{M\tau}) \quad (2)$$

- التنبؤ : وهي المهمة التالية اذ يتم التنبؤ بقيم  $yi$  للقيم المفهرسة فردياً باستخدام المعلومات الموجودة في القيم المفهرسة زوجياً ، اذ نحصل على التنبؤ للدالة  $yi$  بدرجة تمهد موضوعية وكالاتي

$$dj - 1 = cj^{M\tau} - P(cj^{M\tau}) \quad (3)$$

إذ ان  $P$  هي عملية التنبؤ اذ يتم اختيار  $P$  التي تكون ارتباط بين  $cj^{k\tau}$  و  $cj^{M\tau}$  .

- التحديث : تعد هذه الخطوة هي الخطوة النهائية من خلال تحديث قيم  $yi$  على الموضع الزوجية لاستعمال تركيبة خطية من قيم  $yi$  القديمة المفهرسة زوجياً مع متوجه التفاصيل .

ان الغرض من مرحلة التحديث هو الحفاظ على كمية الاشارة في القيم المحدثة الاولية (القيمة المتوسطة للإشارة) عبر التكرارات المتتالية لهذا الاجراء (Mathewi and Nunes, 2005) ، بعد تكرار اجراء تقييم التنبؤ بالتحديث على القيم المحدثة يتم استبدال البيانات الاولية  $yi$  بالبيانات المحدثة المتبقية في العينة الفرعية (التي تقييد انتاج ميزات المقاييس الخشن للإشارة) والمعاملات التفصيلية التي تراكم خلال العملية وهذا العمل مشابه لطريقة التحويل المويجي المتقطع الذي يستبدل  $yi$  بمجموعة من دوال الاب ومعاملات الام المويجية [7],[10].

### 5. تحويل الرفع التكيفي (ALT) Adaptive Lifting Transformation

تعد خوارزمية الرفع التكيفية انتقالة حديدة في تدريب دالة الانحدار اللامعجمي من خلال ما تحمله من خصائص عالية تمكّنها من التكيف مع العديد من انواع المشاهدات بل تدعى ذلك حتى الى البيانات ذات الابعاد العالية وهذه الخصائص هي :

- 1- انها قابلة للتكيف مما يمكنها اختيار نوع التباين في كل خطوة ينتج باختيار موضعى لعدد عزوم التلاشى (تمهيد مويجى) اذ فى كل خطوة يتم ايجاد عدداً من الاحتمالات للتبؤ وبعدها يتم اختيار اقصى قدر من الضغط ( يتم فياسه كاصغر قيمة مطلقة لمعامل المويجات ) (Wavelet Coefficient).
- 2- بما ان معاملات الرفع مشابه الى حد كبير معاملات الموجة لذلك يمكن استعمال العديد من التقنيات المصممة سابقاً (قيمة دالة العتبة) من تقليل التشويش لمعاملات الموجة .
- 3- الخوارزمية فعالة من الناحية الحسابية  $O(n)$  .
- 4- من خلال هذه الخوارزمية بالامكان التعامل مع قيم متعددة  $L(y)$  لكل  $(x)$  معطى . و يمكن توضيح كيفية عمل خوارزمية التكيف وفق الاتى [9]:

### 1.5 - الرفع التكيفي لمعامل واحد في وقت واحد (Lifting one Coefficient)

كما ذكرنا الغاية من اجراء كافة التحويلات هي تقدير دالة  $m(x)$  لعينة  $n$  من النقاط سواء كانت منتظمة التباعد ام لا على خط حقيقي والغاية من التحويل هو تحويل قيم الدالة الى مجموعة من معاملات التفصيل (Detail Coefficients) ومعاملات القياس (Scaling Coefficients).

يمكننا ترتيب القيم والفوائل الزمنية المرتبطة بكل نقطة . احدى الطرق للقيام بذلك هي انشاء فترات زمنية تكون نقاط النهاية فيها هي نقاط المنتصف بين نقاط الشبكة الاولية .

من اجل التعبير عن دالة (الادخال) الاولية كمجموعة خطية من دوال القياس ، فاننا نأخذ دوال القياس الاولية لتكون دوال مميزة للفترات المرتبطة بكل نقطة .

ومن خلال خاصية  $\delta_{i,k} = \eta_{n,k}(x_i)$  ويمكن التعبير عن الدالة  $m$  وفق الاتى :

$$m(x) = \sum_{k=1}^n C_n, k \eta_n, k(x) \quad (4)$$

حيث ان :

$$m(x_i) = \sum_{k=1}^n C_n, k \delta_n, k = C_{n,i} \quad (5)$$

بهذه الطريقة يتم استعمال قيم الدوال على الشبكة غير المنتظمة كمعاملات قياس اولية .  
خطوة الرفع الاولى (لتكن المرحلة  $n$ ) يجب اختيار النقطة المراد رفعها ولتكن  $j$  ومثل ذلك

$$\int \eta_n, j_n(x) dx = \min k \in \{1, \dots, n\} \int \eta_n, k(x) dx \quad (6)$$

باستخدام اقل تكامل دالة قياس ، نختار النقطة بادق التفاصيل من خلال بناء الفترة المتمثلة لتكامل دالة القياس .  
تنوافق قيم التكامل الاصغر مع المناطق التي تم فيها اخذ عينات من الدالة بكثافة ، وبالتالي فان ازالة النقطة لن تؤدي الا الى فقدان معلومات صغيرة في الاشارة . لذا فان المعاملات الاولى التي تم الحصول عليها هي تلك التي تتوافق مع ادق التفاصيل ، مع خطوات اخرى تفاصيل اكثر خصوصية بشكل تدريجي .

بعد اختيار النقطة المراد ازالتها  $j$  نحدد مجموعة المجاورات  $I_n$  .

نظرأً لوجود تطابق one-to-one بين النقطة المراد ازالتها ومرحلة ازالتها ، فاننا نقوم بفهرسة كل مجموعة من المجاورات ضمن المرحلة  $(n)$  .

نستخدم المجاورات للتبؤ بقيمة الدالة عند  $j$  باستعمال تقنيات الانحدار البسيط . يعد كل من تعريف المجاور و طريقة الانحدار امراً بالغ الاهمية لثبت التكيف . مرحلة التبؤ تعطي تقديرأً للنموذج  $\sum_{i \in I_n} a_i^n C_{n,i}$  ، حيث ان  $a^n$  هي الاوزان الناتجة

من اجراء الانحدار على  $I_n$  . اذا كان  $j$  مجاور واحد فقط ( $i$ ) ، فان التبؤ يكون  $(x_i)$   $m$  وبذلك يتم الحصول على معاملات التفصيل (Detail Coefficient) :

$$d_{jn} = C_n, j_n - \sum_{i \in I_n} a_i^n C_{n,i} \quad (7)$$

وفي حالة المجاور الواحد

$$d_{jn} = C_n, j_n - C_{n,i} \quad (8)$$

تأثير مرحلة التحديث فقط على معاملات القياس المرتبطة بالنقاط المجاورة

$$C_{n-1,i} = C_{n,i} + b_i^n d_{jn}, \forall i \in I_n, i \neq j_n \quad (9)$$

لای ( $j_n \notin I_n$ ) معاملات القياس لا تتأثر ، بحيث ان  $C_{n-1,i} = C_{n,i}$

الهدف من مرحلة التحديث هذه هو الحفاظ على ثابتة عبر المقاييس ، بعبارة اخرى :

$$\sum_{i \in I_n} C_{n,i} \int \phi_{n,i}(x) dx = \sum_{i \in I_{n-1}} C_{n-1,i} \int \phi_{n-1,i}(x) dx \quad (10)$$

ويتم الحصول على  $b$  من خلال الشرط ، علاوة على ذلك يتم اعادة توزيع التكامل المرتبط بالنقاط التي تمت ازالتها عن مجاوراتها (Jansen 2001,2004) لتفاصيل اكثرا حول هذا الاجراء .

عند هذه النقطة (Jansen 2004) وآخرون اقترح انه بالامكان تمثيل الاشارة على انها :

$$m(x) = d_{jn} \psi_{jn}(x) + \sum_{i \in \{1, \dots, n\} / \{j_n\}} C_{n-1,i} f_{n-1,i}(x) \quad (11)$$

اذ ان  $\psi_{jn}$  و  $f_{n-1,i}$  هي مناظرة لدوال الموجات والقياس المعتادة (Mather Wavelet) و (Scaling Function) .

للخلاص سيتم البدء بالمعادلة (4) ، النقطة  $j$  يتم تحديدها كدالة قياس  $j_n$   $\phi$  يتم الغاءها وانشاء دالة الموجة  $\psi_{jn}$  بمعامل جديد  $d_{jn}$  . ومن ثم يتم تحديث جميع معاملات دالة القياس المجاورة للنقطة  $j$  مما يؤدي الى التمثيل دالة (a).

ومع ذلك على عكس حالة الموجات المتقطعة المعتادة ، لا توجد صيغة تحليلية لدوال القياس والموجات يتم انشاء هذه الدوال بشكل متكرر مع استمرار الخوارزمية وتعتمد على موقع نقاط الادخال ( $x_i$ ) فمن الممكن انشاء دوال الموجات عن طريق اجراء تحويل امامي على دالة صفر في الموقع ( $x_i$ ) ، ثم ادخال القيمة (1) في موقع معامل الموجات الذي نريد بناء دالة الموجات الخاصة به ونطبق تحويل الرفع العكسي ، غالباً ما يستخدم هذه الطريقة نفسها لانشاء صور لموجات الام في الحالة العادية .

بعد تعامد الموجات ودوال القياس ميزة مرغوبة لانها تضمن استقرار التحويل ولكنه لا ينطبق في حالة تحويل الرفع .

اذ انه بعد الحصول على القيم المتوقعة والمحدثة ، تتم ازالة نقطة الشبكة  $j$  وتكرر العملية اذ يتم اختيار نقطة جديدة بناء على الحد الادنى من التكاملات المحدثة ، ويتم تحديث المجاور من نقاط الشبكة المتبقية (ذلك التي لم يتم ازالتها ولم يتم اختيارها في المرحلة الحالية) ويتم تنفيذ خطوات التوقع والتحديث .

ونتيجة لذلك في نهاية المرحلة (r) فان النقاط ( $j_n, j_{n-1}, \dots, j_r$ ) قد تم ازالتها . سيتم تمثيل الاشارة  $m$  كتركيبة خطية المتولدة من خلال التحويل ودوال القياس المتبقية (المحدثة) مع المعاملات المقابلة التي تكون من التفاصيل ومعاملات ذات التردد الواطئ وفق الاتي [12],[8] :

$$m(x) = \sum_{k \in (n, n-1, \dots, r)} d_{jk} \psi_{jk}(x) + \sum_{i \in (1, \dots, n) / (j_n, j_{n-1}, \dots, j_r)} C_{n-1,i} \eta_{n-1,i}(x) \quad (12)$$

## 6. اضافة التكيفية (Adding Adaptivity)

بالعودة الى مسألة اختيار المجاورات يمكن استخدام التنبؤ بناء على المجاورات المتماثلة نفس عدد المجاورات على يسار ويمين النقطة التي تم ازالتها واختيار اقرب مجاور الى النقطة التي تمت ازالتها بغض النظر عن الجانب الذي تقع فيه . ومن خصائص هذه الخوارزمية والبرمجة المستعملة يمكن التنبؤ مع اي عدد من المجاورات للتنبؤ ، يستعمل الانحدار متعدد الحدود (الحد الثالث) باستعمال المجاورات كمتغيرات توضيحية (اي الانحدار الخطى او التربيعي او المكعب لحل المجاور المحدد) وهذا يقابل عدد عزوم التلاشي عند التحويل الموجي المتقطع ، وهو امر ذو فائدة كبيرة عندما تكون الدالة ممهدة موضعياً ولا يكون هناك انقطاعات .

ولتكيف التحويل التالي (الرفع) مع تنقية الاشارة الموضعية لذلك يتم عند كل خطوة رفع مصدرين للتكييف هي درجة الانحدار وحجم المجاور وتكون عن طريق الاتي [13],[9] :

### 1.6- طريقة (Adaptpred)

في كل خطوة يتم اختيار رتبة المتعدد (خطى ، تربيعي ، مكعب ، مع او بدون تقاطع) مما يؤدي الى انشاء اصغر معامل تفصيلي في القيمة المطلقة يتم تحديد حجم المجاور وتكوينه من خلال تكييف قواعد الموجات مع تمديد الاشارة [8] .

**2.6- طريقة (Aaptneigh)**

فضلاً في طريقة Adaptpred ، يتم الاختيار من بين عدة احتمالات لحجم المجاور وتكوينه بحيث يتم الحصول على اصغر معامل تصصيلي (بالقيم المطلقة) المجاورات المكونة تكون متماثلة وبعد محدد مسبقاً لكل جانب اقرب مجاور يصل الى ضعف العدد المحدد [8] .

**7. اختيار المجاور (Choosing the Neighbourhood)**

اختيار المجاور في تحويل الرفع يجب ان يحدد حجم المجاور ويمكن الاختيار بناءً على المعرفة السابقة بالاشارة ومع ذلك فانه ينصح باستعمال احجام المجاورات الكبيرة لأن ذلك يزيد من فرص استخدام النقاط التي لا تنتمي الى نفس المقاييس . في هذه الخوارزمية عندما تكون النقطة المراد ازالتها في مرحلة معينة على الحدود بدلاً من استخدام العدد المطلوب من المجاورات (والذي سيأتي بعد ذلك من جانب واحد فقط) فاننا نستخدم فقط اقرب جار لها لتجنب استعمال المجاورات المصطنعة . اظهرت دراسات ان المجاورات غير المتماثلة ليس لها تأثير على تحويل الرفع التكيفي طالما يتم استعمال عدد ثابت من المجاورات [8].

**8. ترتيب الانحدار (Regression Order)**

يتمن انشاء التحويلات غير المستقرة باستعمال منحنيات ذات ترتيب اعلى مما يسمح به العدد المتاح من المجاورات ومن ثم نستخدم كل نوع من التنبؤ مع العدد المناسب من المجاورات . في خطوات معينة من التحويل ستكون في حالة عدم وجود عدد كاف من المجاورات وبالتالي يجب تقليل ترتيب التنبؤ بينما بالنسبة للنقاط الحدية تتباين دائمًا باستخدام دوال الخطوة لذلك علينا ان ندرك اننا في الواقع نحصل على مزيج من درجات الانحدار (على الرغم من اننا بحاجة الى درجة ثابتة له) [9] .

**9. اللاخطية لخوارزمية التكيفية (Non Linearity of Adaptive Algorithms)**

من المعلوم انه بالنسبة لمخططات التنبؤ التي يستخدم انحدار المربعات الصغرى يتم احتساب اوزان التنبؤ باستخدام قيم الشبكة فقط وبالتالي يكون التحويل خطياً . مع ذلك عندما نقدم القدرة على التكيف في تصميم التحويل فان نوع التنبؤ المستخدم يتکيف مع بنية الاشارة المحلية . وهذا بدوره يؤدي الى اعتماد اوزان التنبؤ وتكاملات الدوال واوزان التحديث والنقطة التالية المختارة للازالة على الاشارة  $m$  . وبالتالي فان عامل التحويل المرتبط بالتحویلات التكيفية ليس خطياً بل هو دالة اشارة [9].

**10. تحديث الاوزان (Update Weights)**

تعتبر اوزان التحديث مسؤولة ايضاً عن عدم استقرار التحويل وفي الخوارزمية المستخدمة

$$b_i^r = I_{r,j}, I_{r-1}, i / \sum_{k \in I_r} I_{r-1}^2, k \quad (13)$$

كما اقترح (Jansen) واخرون (2000) بأن هذا الاختيار يضمن بان تكون الاوزان التي تم الحصول عليها لها الحد الادنى من الطبيعي ، كما يمنع دوال المويجات والقياس الجديدة في مرحلة ( $r$ ) من ان تكون قريبة جداً من بعضها البعض [8] .

**11. مشاهدات متعددة في قيم  $x$  (Multiple Observations at  $x$ )**

تم مواجهة العديد من المواقف الحقيقة حيث يكون عدد قيم  $m_i$  في نفس الموقع  $x_i$  . نستخدم خطوة التنبؤ ونهج المربعات الصغرى لنقير المعلومات المجهولة لمنحنى الانحدار لتناسب مع البيانات والتي يمكنها التعامل بشكل طبيعي مع المشاهدات المتعددة . في خطوة التحديث يتم تحديث جميع المجاورات المتعددة باستخدام التفاصيل المقابلة الذي تم الحصول عليهما في مرحلة التنبؤ . لذا فان نقاط الجوار التي كانت متعددة تقل بعد خطوة التحديث اذا كانت النقطة المراد ازالتها متعددة في حد ذاتها ، فقد تم اختيار معامل تصصيلي واحد عن طريق اخذ متوسط معاملات التفصيل الفردية المميزة [10] .

**12. المحاكاة**

لأنموذج الانحدار الامثل  $y_i = m(x_i) + e_i$  حيث ان  $y_i = m(x_i) + e_i$  حيث  $x_i = i/n$  ، اما  $e_i$  يتم توليدتها وفق التوزيع الطبيعي،  $(x_i, m)$  دالة الانحدار الامثل والتي سيتم تقديرها ، اما المتغير المعتمد فيتم توليده من خلال دوال الاختبار المذكورة في الفقرة (3) ادناه مضافاً اليها التشوش  $e_i$  .

وبغية تنفيذ تجارب المحاكاة تم استعمال العوامل الآتية :

1. حجوم العينات  $n$  ، ثم استعمال ثلاثة انواع من احجام العينات وهي  $2^6 = 64$  ،  $2^7 = 128$  ،  $2^8 = 256$  .
2. نسب التشوش (SNR) حيث تم استعمال اثنان من نسب التشوش وهي نسبة تشوش قليلة متمثلاً ب( $SNR=5$ ) ونسبة تشوش عالية متمثلاً ب( $SNR=10$ ) أي نسبة تشوش صغيرة و أخرى كبيرة.

3. دوال الاختبار ( $t_i$ ) ، المستعملة تم اختيارها لتمثل حالات مختلفة من الواقع العملي حيث تم استعمال دوال (Doppler) والتي تمتاز بتعدداتها المتغيرة ، كذلك دالة (Heavesin) والتي تمتاز كونها متقطعة وغير مستمرة بالإضافة الى دوال (Blocks) وهي دوال غير دورية ذات مطبات حادة والموضحة في الجانب النظري.

### 13. معيار المقارنة

تم استعمال معيار معدل مجموع متواسطات الخطأ (MASE) حيث ان هذا المعيار يكون وفق الصيغة الآتية :

$$MSE(\hat{g}) = \frac{1}{n} \sum_{i=1}^n [g(i/n) - \hat{g}(i/n)]^2 \quad (14)$$

### 14. تحليل تجارب المحاكاة

اجريت تجارب المحاكاة باستعمال ثلاثة حجوم للعينات وبنكرار (500) . اذ سيتم تحليل وتفسير النتائج من خلال مقارنة الطرائق بمعيار (MASE) حسب كل دالة من دوال الاختبار الموضحة في الجانب النظري وعند كل حجم عينة قيمة عتبة وقانون عتبة وباختلاف نسب التشويش لغرض الاطلاع على اداء الطرائق باختلاف المواقف المتوقعة مواجهتها في الجانب التطبيقي وكما يلي :

### 15. دوال الاختبار

ادناه نتائج المحاكاة باستعمال دوال الاختبار المشوّشة والموضحة في الجانب النظري لحجوم عينات  $n=128$ ,  $n=256$  ونسبة إشارة إلى تشويش  $SNR=5$  ,  $SNR=10$  للطرائق التقدير الموضحة في الجانب النظري:

#### اولاً : دالة الاختبار (Doppler)

1- بصورة عامة وباختلاف احجام العينات ونسب التشويش نلاحظ تفوق طرائق التقدير باستعمال قيمة عتبة visu وقاعدة عتبة ناعمة Soft Threshold يليها بعد ذلك طريقة العتبة الشبه ناعمة Semisoft Thresholds يليها بعد ذلك دالة قاعدة عتبة Garrote باستعمال قيمة عتبة visu .

2- بصورة عامة وباختلاف احجام العينات ونسب التشويش نلاحظ تفوق طرائق التقدير باستعمال قيمة عتبة visu وباعد العتبة على قيمة العتبة Sure

3- بصورة عامة نلاحظ تقارب اداء الطرائق(اختلاف قواعد العتبة) باختلاف نسب التشويش مع افضلية بسية عند نسبة التشويش  $SNR=10$  .

4- بصورة عامة نلاحظ انخفاض قيمة MSE بازدياد حجم العينة باستثناء حجم العينة  $n=128$  ولكل طرائق وباختلاف نسب التشويش .

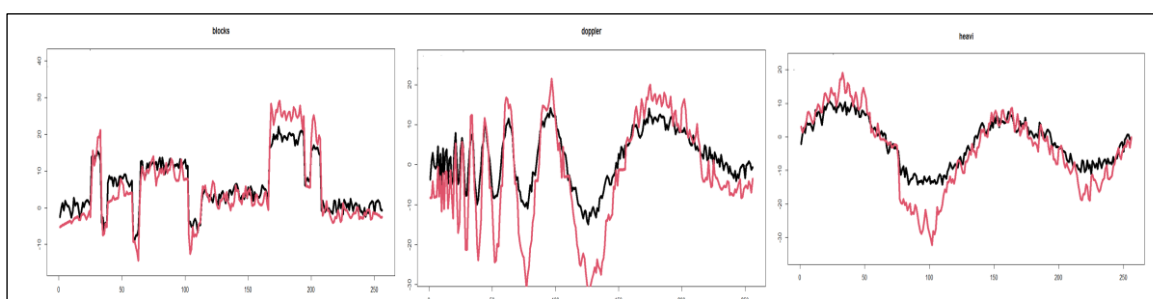
5- تراجع اداء كل من الطرائق التي تم فيها استعمال قاعدة عتبة صلبة Hard Threshld Rule والطريقة المحسنة الثانية باختلاف احجام العينات ونسب التشويش .

جدول رقم (1) يبين معيار MASE لمقارنة التقديرات لدواال الاختبار المشوّشة لحجوم عينات  $n=128$  ,  $n=256$  ,  $n=64$  ونسبة إشارة إلى تشويش  $SNR=5$

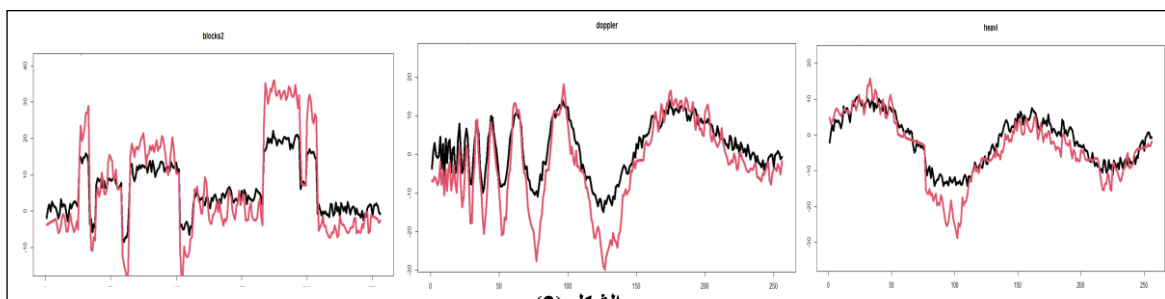
	Lifting			Adaptive Lifting		
	Doppler	Heavesin	Blocks	Doppler	Heaven	Blocks
64	0.021001200	0.022140789	0.05105304	0.008738478	0.02157578	0.03092517
128	0.019908771	0.03219054	0.04922436	0.008411908	0.01157679	0.03023316
256	0.01894700	0.02392101	0.04808579	0.00802297	0.009673011	0.02949399

جدول رقم (2) يبين معيار MASE لمقارنة التقديرات لدواال الاختبار المشوّشة لحجوم عينات  $n=128$  ,  $n=256$  ,  $n=64$  ونسبة إشارة إلى تشويش  $SNR=10$

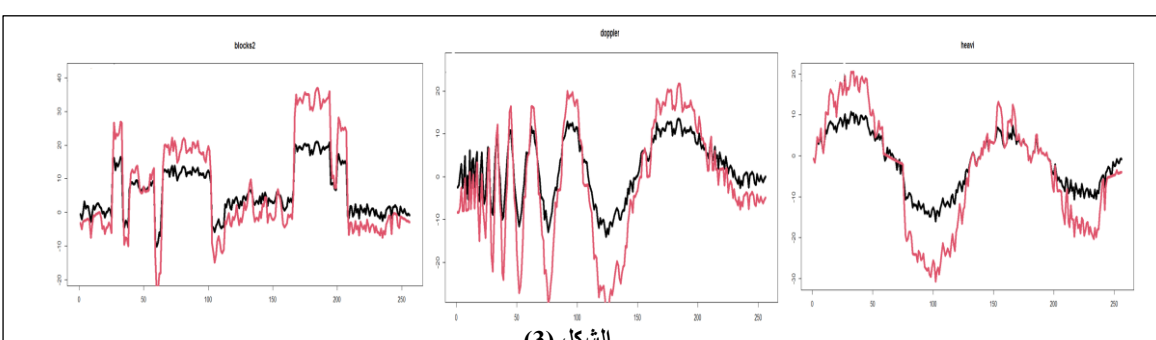
	Lifting			Adaptive Lifting		
	Doppler	Heavesin	Blocks	Doppler	Heavesin	Blocks
64	0.028861432	0.05233014	0.05937534	0.027960468	0.03106276	0.05512564
128	0.019691333	0.04748507	0.05937534	0.018849645	0.03006278	0.04637440
256	0.007926877	0.02259928	0.02849164	0.007625374	0.01038175	0.02781866



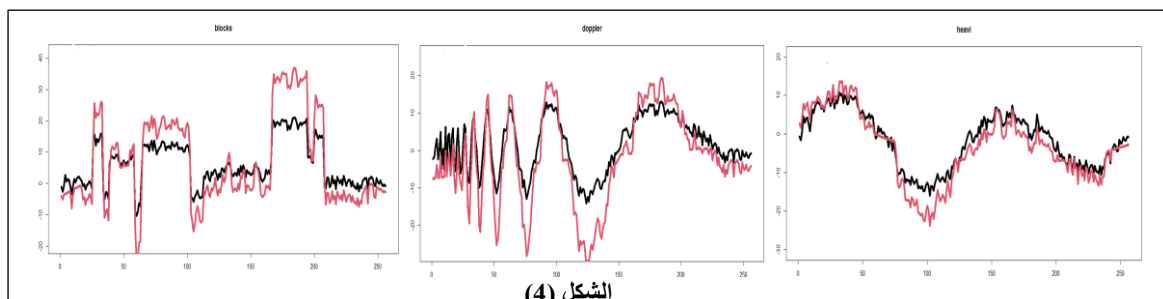
الشكل (1)  
يوضح القيم الحقيقية والقيم التقديرية للمتغير المعتمد  $Y$  باستعمال دوال الاختبار ونسبة تشويش (5)  
وحجم عينة (256) توليا لطريقة Adaptive lifting



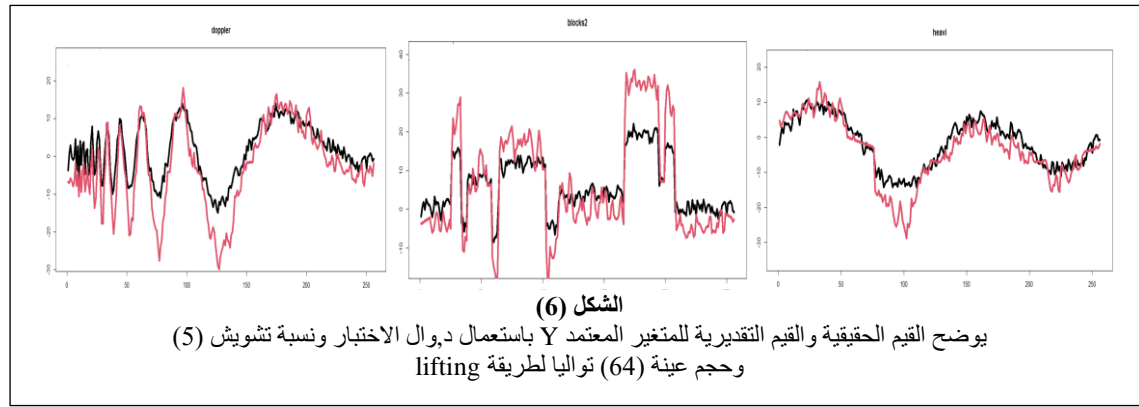
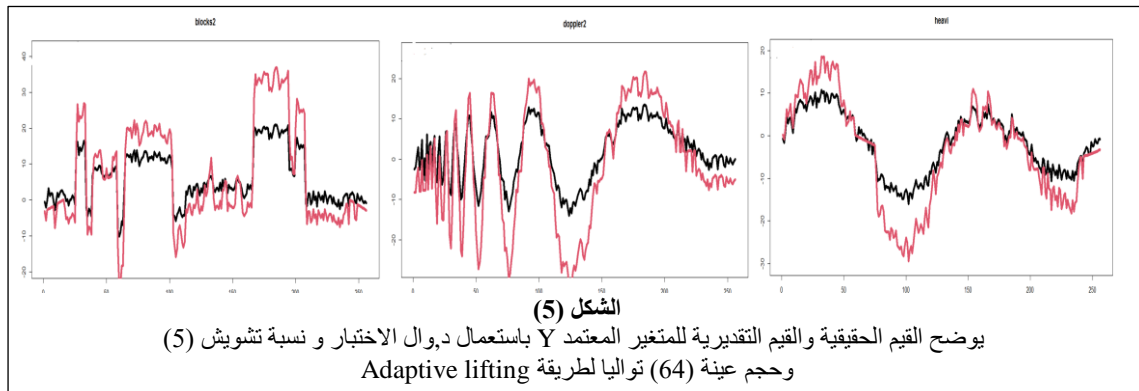
الشكل (2)  
يوضح القيم الحقيقية والقيم التقديرية للمتغير المعتمد  $Y$  باستعمال دوال الاختبار ونسبة تشويش (5)  
وحجم عينة (256) توليا لطريقة Adaptive lifting



الشكل (3)  
يوضح القيم الحقيقية والقيم التقديرية للمتغير المعتمد  $Y$  باستعمال دوال الاختبار ونسبة تشويش (5)  
وحجم عينة (128) توليا لطريقة Adaptive lifting



الشكل (4)  
يوضح القيم الحقيقية والقيم التقديرية للمتغير المعتمد  $Y$  باستعمال دوال الاختبار ونسبة تشويش (5)  
وحجم عينة (128) توليا لطريقة Adaptive lifting



## 16. الجانب التطبيقي

### 1.16 السيولة المصرفية

يسعى هذا البحث الى تحديد مفهوم السيولة المصرفية بما يتلائم مع مستوى النشاط الاقتصادي للبلد و مراعاة التعرف على مركبات و اهمية السيولة ، والجوانب التي لها علاقة مباشرة بالسيولة المعتمدة من قبل المصارف وبما يتمحض عن تلك العلاقة في تكوين نسب السيولة التي تعد مثلى ، وانعكاس ذلك على المؤشرات المالية الاخرى كدخل رئيسي لبيان قدرة وملاءمة المصرف في تقييم المركز المالي وسياسة التوظيف المعتمدة من قبل المصارف وفهم طبيعة البيئة المصرفية وآلية توزيع الموارد المالية من مصادر واستخدامات الاموال وكيفية تقديرها وترجمة ايقاع حركتها لتحقيق الاستقرار الاقتصادي للبلد [5],[1].

### 2.16 نسبة السيولة

تعتبر نسبة السيولة احد النسب المالية المهمة في تقييم المركز المالي للمصرف ومعرفة واقع وحجم السيولة المحدد من قبل البنك المركزي ، فإذا ارتفعت النسبة او انخفضت عن مستواها المحدد يكون مؤشر سلبي على عدم قدرة المصارف التجارية على الاستثمار وعليه عدم تحقيق الربحية لأن السيولة بالحجم الامثل يعزز من امكانية التعامل مع النسب المالية الاحرى ويوفر نقية موجودات قابلة للتسبييل خلال فترة زمنية قصيرة ،وعليه تعتمد المصارف التجارية على عدد من النسب المالية لمعرفة كفاية السيولة لديها ومنها نسبة الرصيد النقدي ونسبة الاحتياطي النقدي ونسبة السيولة (الموجودات المتداولة / المطلوبات المتداولة) ونسبة توظيف الاموال [5],[1].

### 3.16 القروض قصيرة الأجل

تلعب أسعار الفائدة قصيرة الأجل دورا حاسما في عالم المال والاقتصاد. هذه المعدلات، المعروفة أيضاً باسم أسعار سوق المال، هي أسعار الفائدة التي تفترض بها المؤسسات المالية أو تفرض الأموال لفترة قصيرة، عادةً ما تكون أقل من عام واحد. وتعد أسعار الفائدة قصيرة الأجل هي اللبنة الأساسية للنظام المالي للأقتصاد. وهي بمثابة معيار لتنعيم مجموعة واسعة من المنتجات والمعاملات المالية، بما في ذلك القروض والرهون العقارية والسنادات والمشتقات. وتؤثر هذه المعدلات على الإنفاق الاستهلاكي، وقرارات الاستثمار، والنمو الاقتصادي العام. تلعب البنوك المركزية دوراً حيوياً في تحديد أسعار الفائدة قصيرة الأجل للسيطرة على التضخم، وتحقيق استقرار الاقتصاديات، وإدارة السياسة النقدية ،تساهم عدة عوامل في تحديد أسعار الفائدة قصيرة الأجل. العامل الأساسي هو ديناميكيات العرض والطلب على الأموال في النظام المالي. عندما يتتجاوز الطلب على النقود العرض، تميل أسعار الفائدة قصيرة الأجل إلى الارتفاع، مما يحفز المقرضين على توفير رأس المال. وعلى العكس من ذلك، عندما يتتجاوز المعروض من النقود الطلب، تميل أسعار الفائدة قصيرة الأجل إلى الانخفاض. وتشمل العوامل الأخرى التي تؤثر على هذه

المعدلات توقعات التضخم ونسبة السيولة وسياسات البنك المركزي والمؤشرات الاقتصادية والأحداث الجيوسياسية ، يعد فهم أسعار الفائدة قصيرة الأجل أمراً ضرورياً لفهم ديناميكيات السوق المالية وتأثيرها على مختلف أصحاب المصلحة. وتؤثر هذه المعدلات على تكاليف الاقتراض، وقرارات الاستثمار، والأداء العام للاقتصادات. ومن خلال تحليل العوامل التي تؤثر على أسعار الفائدة قصيرة الأجل والنظر في وجهات نظر المقترضين والمستثمرين والبنوك المركزية، يمكن للمرء الحصول على نظرة ثاقبة للعالم المعاصر لأسعار سوق المال [1,5].

#### 17. تصنیف البيانات

البيانات الخاصة بالبحث تم جمعها بالاستعانة ببيانات البنك المركزي العراقي، اذ تم تزويدها بالمعدلات الشهرية لكلا من القروض قصيرة الاجل كمتغير معتمد من (1/1/2013- 12/2022) وبحجم عين (108) اما بالنسبة للمتغير التوضيحي فقد تم اخذ بيانات نسبة السيولة المصرفية وهي من العوامل المؤثرة بشكل فاعل في كمية القروض طويلة الاجل ، فضلاً عن كونها بيانات مثالية وذلك لأنها تكون محصورة بين (0,1) ولا يشترط كونها متساوية المسافة زمنياً ، الامر الذي يجعلها ملائمة لطرائق التقدير المستخدمة.

#### 18. توصیف الانمودج

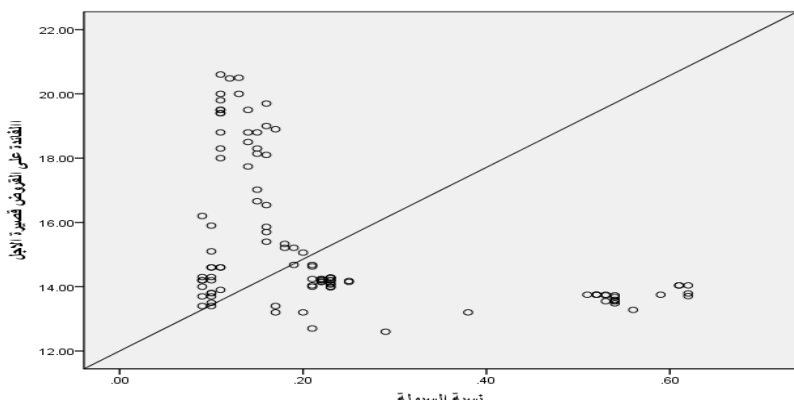
ان توصیف الانمودج يعد من اهم اجزاء اعداد انمودج البحث ، اذ يتم فيه تحديد العلاقة بين المتغير التابع (متغير الاستجابة) (Dependent Variable) والمتغيرات التوضيحية (Exploratory Variable) الدالة في الانمودج من خلال معطيات البحث اذ تمثل متغير الاستجابة بالقروض طويلة الاجل في حين تمثل متغير التوضيحي بنسبة السيولة المصرفية .

#### 19. المتغير التوضيحي

تضمن انمودج البحث متغير توضيحي واحد وهو نسبة السيولة المصرفية وذلك كون انمودج الدراسة المعتمد هو انمودج انحدار لامعلمی بسيط والتي تم توضیحها في (1-2-4) .

#### 20. المتغير المعتمد

حسب الدراسة فان القروض طويلة الاجل تتأثر بشكل كبير من كمية نسبة السيولة المصرفية ومن خلال اجراء اختبار الانمودج اتضح انه انمودج لا خطى والذي يوضحه كلا من قيمة معامل التحديد والتي كانت صغيرة جداً وبالغة 0.2 اي ان الانمودج يفسر 20% من تفسير التغير الحاصل في نسبة الفائدة على القروض قصيرة وهذا ما يوضح الرسم اذ من الواضح عدم وجود علاقة خطية اي ان الانمودج لا خطى كذلك عدم السيطرة على التغيرات في نسبة الفائدة في القروض مما ينتج عن ذلك ضرورة استعمال انمودج اكثر ملائمة لمثل هكذا حالات كون الانمودج المعلمی قد اخفق في توضیح العلاقة بين متغيرات الدراسة وانتج تقدیرات غير دقيقة وهو انمودج الانحدار الامثل كونه اکثر ملائمة لمثل هذه الحالات الآتي :



شكل (7) يوضح العلاقة اللاخطية بين متغيرات الانمودج

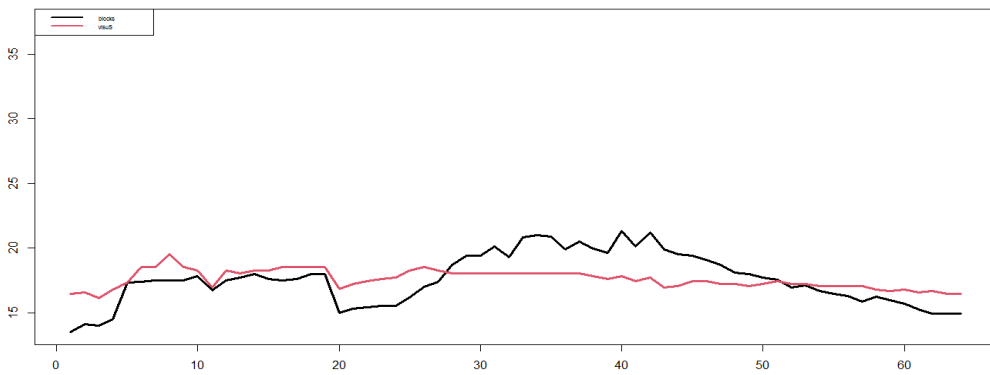
#### 21. تحلیل النتائج The Result Of Analysis

بصورة عامة نلاحظ ان سلوك البيانات في الجانب التطبيقي مشابه الى حد كبير للبيانات المولدة من خلال دالة الاختبار haevi وذلك واضح من خلال رسم الدالة وكذلك افضل الطرائق عند هذه الدالة وهي طريقة visu .

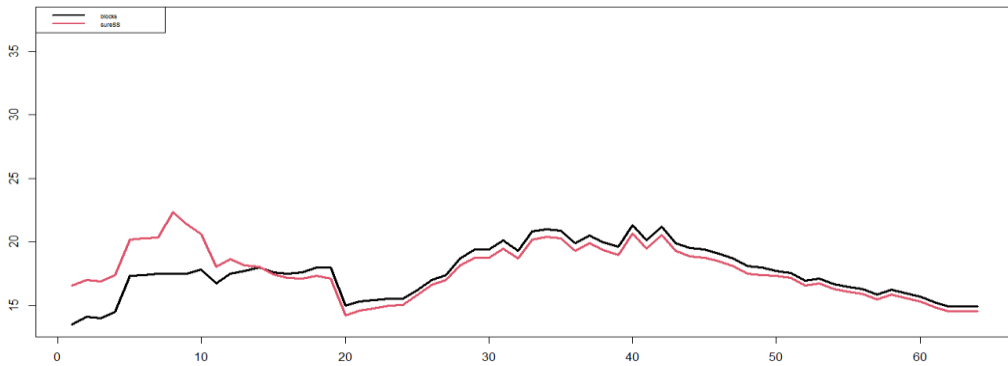
- عند مقارنة افضل الطرائق المختارة من خلال المحاكاة بالنسبة لقيمة العتبة عند كل تقدير نلاحظ انه اتضح ان الاداء يكون افضل عند قيمة العتبة sure ولجميع انواع قواعد العتبة .
- عند مقارنة الانمودج الامثل المستعمل قيد الدراسة نلاحظ انه كان افضل بكثير من الانمودج المعلمی ويعد ذلك الى كفاءة انمودج الانحدار المويجي في التقدير من خلال تكيفه مع النماذج اللاخطية واستخلاص اكبر قدر من المعلومات.

جدول (3) يوضح معيار MSE لمقارنة التقديرات لبيانات القروض طويلة الاجل عند عينة n=64 وافضل طرائق تدريب

Methods	Lifting	Adaptive lifting
	0.028306193	0.009169423



شكل (9) يوضح البيانات الحقيقة والتقديرية للمتغير المعتمد باستعمال طريقتي Adaptive Lfting



شكل (10) يوضح البيانات الحقيقة والتقديرية للمتغير المعتمد باستعمال طريقتي Lifting

## 22. الاستنتاجات

فيما يتعلق بالاستنتاجات سيتم تقسيمها الى نوعين بناءً على ما تم الحصول عليه من النتائج في الجابين التجاري والتطبيقي ، والتي يمكن استخلاصها كالتالي :

- نلاحظ وبصورة عامة وباختلاف حجم العينات ونسبة التشويش وباختلاف دوال الاختبار نلاحظ تفوق طرائق Adaptive Lifting .
- انخفاض قيمة AMSE بازدياد حجم العينة ولكلتا طرائق دوال الاختبار .
- افضل اداء للطريق كان عند دالة الاختبار Doppler يليها بعد ذلك دالة الاختبار Heavisin .
- تراجع اداء كافة طرائق عند استعمال دالة اختبار مقارنة مع بقية دوال الاختبار ويعود السبب في ذلك الى طبيعة تلك الدوال .
- تكيف طرائق التقدير باختلاف نسبة التشويش مما يشير بذلك الى انه تلك طرائق باختلاف قواعد العتبة المستعملة اصبحت اكثر تكيفاً باختلاف نسبة التشويش .
- بعد اختيار البيانات المتمثلة لكلا من نسبة السيولة كمتغير توضيحي ونسبة الفائدة على القروض كمتغير معتمد اتضحت ان العلاقة لخطية اذ فشل الانموذج الخطي في توضيح تلك العلاقة من خلال معامل التحديد والذي قيمته 0.2 وعدم معنوية الانموذج المعلمى .
- ان استعمال انموذج انحدار لامعملى كان الخيار الانسب في دراسة العلاقة بين متغيرات الدراسة وهذا ما اوضح الانموذج من كفاءة تدريب وتكيف باختلاف نسبة التشويش وباختلاف احجام العينات والتحولات التي تحدث في البيانات .
- ان السلوك العام لبيانات الدراسة مشابه الى حد كبير سلوك دالة الاختبار Heavisin مما يتبع للباحثين توظيف افضل طرائق التقدير عندها في تدريب دالة الاختبار الامعملى باستعمال تلك طرائق وبفاءة عالية .
- ان نسبة السيولة تفسر 20% من التغير الحاصل في سلوك القروض طويلة الاجل و80% يفسرها متغيرات اخرى لم تدخل في الانموذج وهذا يوضح مدى اهمية وجود سيولة مالية لدى المصارف والتي بدورها ستحدد الية منح تلك القروض قصيرة الاجل ونسبة الفائدة اذ ان السيولة المالية تكون دعامة قوية للمصارف في تعاملات القروض بمختلف انواعها .

## 23. التوصيات

- 1- استعمال افضل طرائق تقدير عند دالة الاختبار Heavisine كون تلك الدالة تسلك سلوك مشابه الى حد كبير سلوك بيانات الدراسة في حالة تقدير دالة الانحدار المويجي الالعجمي .
- 2- من خلال الاهمية الواضحة لنسبة السيولة المصرفية يتوجب الاهتمام بالإجراءات والخطط التي من شأنها زيادة نسبة السيولة المالية ، الامر الذي يعطي للمصرف مرونة كبيرة في عملية القروض وتحديداً "القروض طويلة الاجل .
- 3- الاهتمام بالبيانات الاحصائية لغرض توظيفها في بناء نماذج مالية ومصرفية واقتصادية بإمكانه رسم خارطة طريق للتنبؤ بالظواهر ورفع الخطط الازمة لتطوير القطاع المصرفي بشكل خاص والاقتصادي بشكل عام .
- 4- استعمال طريقة Adaptive Lifting عند تقدير دالة الانحدار المويجي للبيانات ذات السلوك المشابه والتي لا تتحقق فروض الانحدار المعلمي بشكل عام وفروض الانحدار المويجي من تساوي تباعد البيانات وحجم العينة الثنائي بشكل خاص.

### المصادر

- [1] الآمام ، صلاح الدين محمد أمين ، الخز علي، رقية عبد الخضر شنيت (2017). تحديد النسبة المئوية للسيولة في المصارف التجارية العراقية لمدة 2005-2013 بحث تطبيقي لعينة من المصارف التجارية العراقية الخاصة .مجلة دراسات محاسبية ومالية (41).
- [2] AbduAlkareem Mahdi, M. S., & Hamza, S. K. (2022). Using the wavelet analysis to estimate the nonparametric regression model in the presence of associated errors. International journal of nonlinear analysis and applications, 13(1), 1855-1862.
- [3] Alsberg, B. K., Woodward, A. M., & Kell, D. B. (1997). An introduction to wavelet transforms for chemometrists: A time-frequency approach. Chemometrics and intelligent laboratory systems, 37(2), 215-239.
- [4] Claypoole, R. L., Baraniuk, R. G., & Nowak, R. D. (1998, May). Adaptive wavelet transforms via lifting. In Proceedings of the 1998 IEEE International Conference on Acoustics, Speech and Signal Processing, ICASSP'98 (Cat. No. 98CH36181) (Vol. 3, pp. 1513-1516). IEEE.
- [5] David, Adeyanju Olanrewaju, Samuel, Olabode Oluwayinka," Liquidity Management and Commercial Banks' Profitability in Nigeria ", Research Journal of Finance and Accounting , Vol 2, No 7/8, 2012, Redeemer's University.
- [6] Hamza, S. K., & Ali, S. (2022). Estimation of nonparametric regression function using shrinkage wavelet and different mother functions. Periodicals of Engineering and Natural Sciences, 10(6), 96-103.
- [7] Knight, M. I., Nason, G. P., & Nunes, M. A. (2017). A wavelet lifting approach to long-memory estimation. Statistics and Computing, 27(6), 1453-1471.
- [8] Knight, M., & Nunes, M. (2008). An adaptive lifting algorithm and applications. In Proceedings of the 56th Session of the ISI (pp. 166-173). Instituto Nacional de Estatística.
- [9] Nunes, M. A., Knight, M. I., & Nason, G. P. (2006). Adaptive lifting for nonparametric regression. Statistics and Computing, 16, 143-159.
- [10] Sweldens, W. (1995, September). Lifting scheme: a new philosophy in biorthogonal wavelet constructions. In Wavelet applications in signal and image processing III (Vol. 2569, pp. 68-79). SPIE.
- [11] Uytterhoeven, G., Roose, D., & Bultheel, A. (1999). Integer wavelet transforms using the lifting scheme. In 3rd World Multiconference on Circuits, Systems, Communications and Computers, Date: 1999/07/04-1999/07/08, Location: Athens, Greece (pp. 198-200). IEEE/IMACS/OTE.
- [12] Wu, Y., Wang, G., & Nie, N. (2001, March). Adaptive lifting scheme of wavelet transforms for image compression. In Wavelet Applications VIII (Vol. 4391, pp. 154-160). SPIE.
- [13] Yang, Z., Cai, L., Gao, L., & Wang, H. (2012). Adaptive redundant lifting wavelet transform based on fitting for fault feature extraction of roller bearings. Sensors, 12(4), 4381-4398.



## Journal of Administration & Economics

Mustansiriyah  
University

College of  
Administration &  
Economics

P-ISSN: 1813 - 6729

E- ISSN: 2707-1359

### Comparison between Lift Transform and Adaptive Lift in Estimating the Nonparametric Regression Function with An Application

Shreen Ali Hussain

Dep. of Quality Assurance and University Performance, University of Baghdad, Baghdad, Iraq  
Email: [shreen.a@uobaghdad.edu.iq](mailto:shreen.a@uobaghdad.edu.iq), ORCID:\

#### Article Information

##### Article History:

Received: 2024 , 2 , 27

Accepted: 2024 , 4 , 29

Available Online: 2024 , 7 , 22

Page no . 93 – 104

##### Keywords:

Discrete Wavelet Transformation , non-parametric regression , Lifting Transformation , Adaptive lifting Transformation .

##### Correspondence:

Researcher name:

Shreen Ali Hussain

##### Email:

[shreen.a@uobaghdad.edu.iq](mailto:shreen.a@uobaghdad.edu.iq)

#### Abstract

*In this research, the lift transformations are studied, and the possibility of employing the most efficient ones in processing and analysing the signal is demonstrated to improve it by removing noise from it and then estimating the nonparametric regression function. We will present some transformation methods and the mechanism of their application to get rid of the noise in the signal since both lift transformation methods were taken. (Lifting Transformation) and Adaptive Lifting Transformation were compared with each other using AMSE and with different test functions, and the best was chosen. It turned out that the Adaptive Lifting Transformation method was the best, followed by the Lifting Transformation method (LIFTINGW), which has different functions. Testing and sample sizes, as the mentioned methods, were applied to accurate data, represented by the financial liquidity ratio as an explanatory variable and the interest rates on short-term loans as a dependent variable for the period from (2013 to 2022), as the mentioned methods proved their efficiency in interpreting the influence relationship of the mentioned variables*